

大矩形柱に働く不規則波波力

大阪市立大学工学部 正員 小田 一紀
 大阪市立大学大学院 学生員 ○尾川 仁俊
 堺市市役所 田中 一広

1. まえがき 海洋構造物は円柱状のものが一般であり、したがって、それらに働く波力に関する研究も、不規則波力をも含めて数多くなされている。一方、橋脚ケーリンなどは、主として経済性の面から四角断面は不利とされ、矩形断面の方が多く採用されていゝが、二の種の矩形柱体に働く波力の研究は、規則波を対象としたものは若干見られるが、不規則波波力を取扱ったものは、著者らの知る限りでは皆無に等しい。矩形柱に働く波力は、入射方向と波力合力が一般に一致しないなど興味ある挙動を示すが、本論文では大矩形柱に働く不規則波波力のうち、まず、水平断面の直角方向と軸方向の成分波力のパワースペクトルと有義波力の特徴を調べたので報告する。

2. 計算条件 座標系は図-1に示すとおりである。本研究では

有義波高 $H_1/3 = 1.5 \text{ m}$ 、有義波周期 $T_1/3 = 7.5 \text{ sec}$ 、水深 $h = 10 \text{ m}$ とする。
 入射波のスペクトルとしては、上記の波条件は赤道近傍域に属するが、一応光易正型を用いた。断面の大きさは、短辺長 b を 20 m とし、長辺長 a に対する辺長比 a/b は、 $1.0, 1.2, 1.4, 1.6, 1.8$ および 2.0 とした。また、入射角度 β は、それまでの断面について、 $0^\circ, 30^\circ, 45^\circ, 60^\circ$ および 90° と変化させて計算を行なった。

3. 計算方法 波力の計算には Green 関数法(積分方程式法)を用い、
 波力成分スペクトルを $S_{Fx}(f), S_{Fy}(f)$ 、入射波のスペクトルを $S(f)$ 、
 波力伝達関数をそれぞれ $K_{Fx}(f), K_{Fy}(f)$ とすると、次式

$$S_{Fx,y}(f) = |K_{Fx,y}(f)|^2 S(f) \quad (1)$$

すて、波力の確率特性を調べるために、入射波のスペクトルを面積等分割し、成分波を重ね合わせて不規則波波力の時系列を求め、それにより波力を評価する方法(重直シミュレーション法)を採用した。以下、波力伝達関数を用いた方法を Case I、時系列を用いた方法を Case II と呼ぶことにする。

4. 有義波力の算定 Case II の方法によて求めた不規則波波力の時系列から一口アッパー・ロス法を用いて波力成分波の確率特性を調べた一例が図-2 である。図-2 の場合の計算条件では波力の方向成分の確率分布で、ほぼ、レーリー分布に従うことがわかる。したがって、この場合には不規則波波力成分の $1/3$ 最大値、 $(F_x)_1/3, (F_y)_1/3$ は次式よ

Kazuki ODA, Hirotoshi OGAWA, Kazuhiro TANAKA.

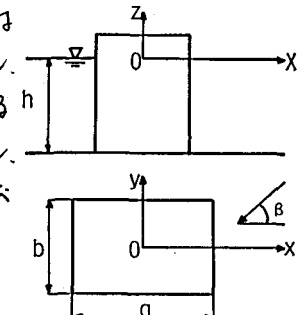


図-1 座標系

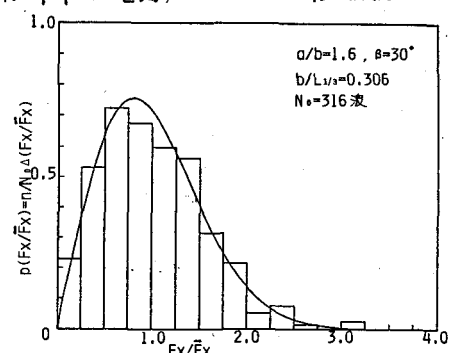


図-2 波力成分 F_x の確率分布

④推定することができます。

$$(F_{x,y})_{reg} = 2.002 \int_0^\infty S_{Fxx,Fy}(f) df \quad (2)$$

5. 破壊スペクトル 破壊スペクトルの一例を図-3(a), (b)に示す。図中の実線は、Case I の方法で求めた破壊スペクトルであり、一点鎖線は、Case II の時系列を F.T. 法で解析して求めた破壊スペクトル、破線は光易Ⅱ型である。両者は、ピークの大きさを除いて、ほぼ一致している。Case II のピークは、スペクトル窓を掛けたことによって低くなっているものだと思われる。また、Case II の場合、高周波側に小正弦ピークがいくつかけられるが、これらの固有数は、入射波のスペクトルを分割した時の成分波の固有数に相当している。これらの計算ケースでは入射波のスペクトルのピーク固有数と破壊スペクトルのピーク固有数はほぼ一致している。

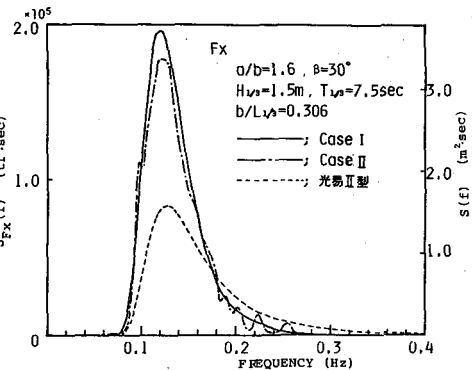
6. 想定波浪力との比較 式(2)を用いて破壊成分スペクトルから計算された有義波力と同じ不規則波の代表波である有義波に対する想定波浪力を比較したもののが図-4である。図のうち明らかなように各方向の波力成分は、断面の辺長比 a/b や入射角度 β にはほとんど関係なく、不規則波浪力は想定波浪力よりも 15% 程度低減している。しかし、各方向の波力成分は、 $\beta = 30^\circ, 45^\circ$ より 60° の時は不規則波浪力は 10~15% 程度低減しているが、 $\beta = 0^\circ$ の時は、辺長比が大きくなるにつれて、想定波浪力との差がなくなる。 $a/b = 2.0$ の時は、逆に不規則波浪力の方が若干大きくなる。

7. 結論 不規則波浪力の成分は、想定波浪力と比較しても、今日は $T_{1/3} = 7.5 \text{ sec}$ の場合の計算を行っていいが、 $\beta = 0^\circ$ の場合を除いて、15% 程度低減し、波力の確率分布ヒストグラム分布であることが見出される。しかし、 a/b の値によってその特性は変わると考えられるので、今後、幅広い条件で計算しておこう。また、波力成分のスペクトル、確率分布特性、さらに、入射波の方向分散による影響も検討したい。

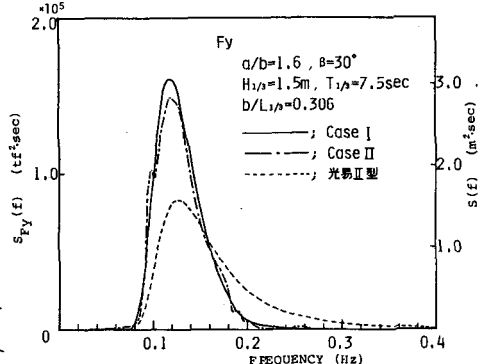
(参考文献)

① 平山彰彦ほか 大口径円筒構造物に働く不規則波浪力、第 29 回年譲

② 小田一紀ほか 海洋端の近くに設置された大型矩形リーフに働く波力、第 29 回年譲



(a) F_x のパワースペクトル



(b) F_y のパワースペクトル
図-3 破壊成分のパワースペクトル

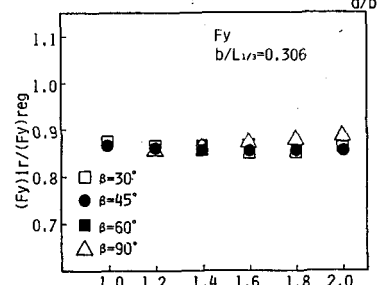
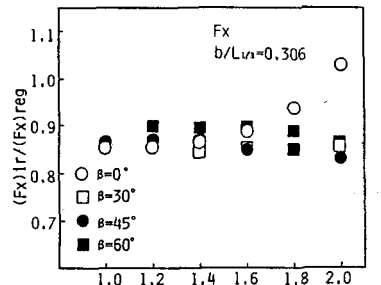


図-4 想定波浪力との比較